

А К А Д Е М И Я Н А У К С С С Р
 С И Б И Р С К О Е О Т Д Е Л Е Н И Е
 А В Т О М Е Т Р И Я

М. И. КУДРЯШОВ

(Новосибирск)

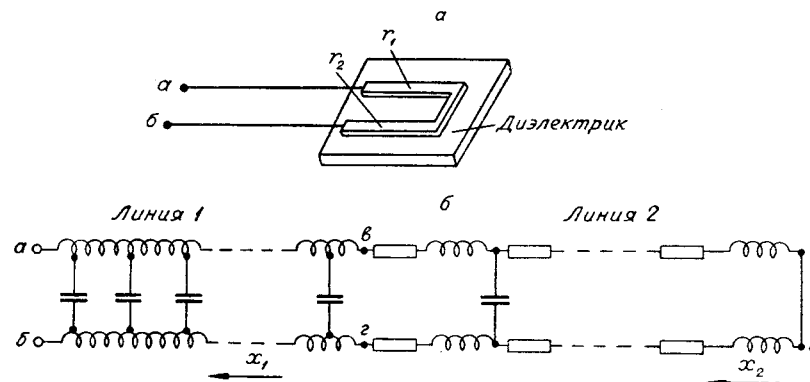
**РАСЧЕТ КОМПЛЕКСНОГО КОЭФФИЦИЕНТА
 ПЕРЕДАЧИ ОДНОЙ СХЕМЫ
 ТОНКОПЛЕНЧОЧНОГО ДЕЛИТЕЛЯ НАПРЯЖЕНИЯ**

Предлагается методика расчета коэффициента передачи делителя, состоящего из двух параллельных тонкопленочных сопротивлений, нанесенных на диэлектрическую подложку.

Фазовые искажения делителей, применяющихся в качестве основных элементов аналого-цифровых преобразователей переменного напряжения, в некоторых цифровых измерительных приборах могут входить непосредственно в погрешность прибора. Например, в работе [1] показано, что погрешность приборов переменного тока, основанных на принципе формирования опорного напряжения, зависит от угла φ примерно следующим образом:

$$\delta = -\frac{\varphi^2}{2}.$$

В этой формуле одной из компонент угла φ является угол сдвига фаз между входным и выходным напряжениями делителя. В связи с этим представляет интерес расчет комплексного коэффициента передачи делителей, применяющихся в цифровых измерительных приборах переменного тока. При изготовлении делителей напряжения по тонко-



Схематическое изображение микроструктуры (а) и ее эквивалентная схема (б).

пленочной технологии в целях уменьшения размеров целесообразно параллельное расположение резистивных пленок на диэлектрической подложке. В данной работе в качестве расчетной модели и рассматривается такой случай (см. рисунок, а).

Коэффициент передачи такого делителя равен

$$\Lambda = \frac{U_{a6}}{U_{a6}} . \quad (2)$$

В установившемся режиме каждая линия [2] описывается следующими дифференциальными уравнениями:

$$\frac{d^2 U}{dx^2} = \gamma^2 U; \quad (3)$$

$$\frac{d^2 I}{dx^2} = \gamma^2 I, \quad (4)$$

где U и I — соответственно комплексные напряжение и ток в линии;

$$\gamma = \nu + j\eta = \sqrt{j\omega C(R + j\omega L)}; \quad (5)$$

$$\nu = \sqrt{\frac{1}{2} \left[-\omega^2 LC + \sqrt{\omega^2 C^2 (R^2 + \omega^2 L^2)} \right]}; \quad (6)$$

$$\eta = \sqrt{\frac{1}{2} \left[\omega^2 LC + \sqrt{\omega^2 C^2 (R^2 + \omega^2 L^2)} \right]}; \quad (7)$$

C , R , L — соответственно погонные емкость, сопротивление, индуктивность линий.

Условимся в дальнейшем все коэффициенты и характеристики для 1-й линии обозначать с индексом 1, а для 2-й линии — с индексом 2. Согласно эквивалентной схеме (см. рисунок, б), во всех уравнениях для 1-й линии $R_1 = 0$, для 2-й линии $R_2 = \frac{r_1 + r_2}{l_2}$. Погонную индуктивность резистивных пленок одинаковых геометрических размеров можно определить (в предположении, что пленки немагнитные) из выражения [2]

$$L_2 = \frac{\mu_0}{\pi} \left(\ln \frac{D_2}{b + t_2} + \frac{3}{2} \right) \text{гн/м}, \quad (8)$$

где $\mu_0 = 4\pi \cdot 10^{-7}$ — магнитная проницаемость воздуха в гн/м;

D_2 — расстояние между резистивными пленками, отсчитанное от центров их поперечных сечений в м;

b и t_2 — соответственно ширина и толщина резистивных пленок в м.

При $t_2 \ll b$, что для тонкопленочных схем справедливо почти всегда, величиной t_2 можно пренебречь.

Погонную индуктивность выводов без учета поверхностного эффекта (в случае использования выводов из очень тонкого провода) можно найти из соотношения [3]

$$L_1 = \frac{\mu_0}{\pi} \left(\ln \frac{2D_1}{d} + 0,25 \right) \text{ гн/м}, \quad (9)$$

где D_1 — расстояние между выводами, отсчитанное от центров их поперечных сечений в м;

d — диаметр выводов в м.

Погонная емкость выводов [2] определяется следующим образом:

$$C_1 = \frac{\pi \varepsilon \varepsilon_0}{\ln \left[\frac{D_1}{d} + \sqrt{\left(\frac{D_1}{d} \right)^2 - 1} \right]}, \quad (10)$$

где ε — относительная диэлектрическая проницаемость материала подложки;

$\varepsilon_0 = 8,66 \cdot 10^{-2}$ — диэлектрическая проницаемость воздуха в ф/м.

Погонную емкость резистивных пленок можно вычислить по формуле [4]

$$C_2 = \frac{\varepsilon \varepsilon_0 F \left(\sqrt{1 - \left(\frac{\alpha}{\beta} \right)^2}, \frac{\pi}{2} \right)}{2F \left(\frac{\alpha}{\beta}, \frac{\pi}{2} \right)}, \quad (11)$$

где

$$\frac{\alpha}{\beta} = \frac{1 + \operatorname{th} \frac{\pi b}{2t} \operatorname{th} \frac{\pi N}{4t}}{1 + \left(\operatorname{th} \frac{\pi b}{2t} / \operatorname{th} \frac{\pi N}{4t} \right)}; \quad (12)$$

где $F \left(\sqrt{1 - \left(\frac{\alpha}{\beta} \right)^2}, \frac{\pi}{2} \right)$ и $F \left(\frac{\alpha}{\beta}, \frac{\pi}{2} \right)$ — эллиптические интегралы

1-го рода.
 $N = D_2 - b$ в м.

Решения уравнений (3) и (4) при отсчете x от конца линий, т. е. от ∂ — e к a — b , имеют следующий вид:

$$U = Ae^{\gamma x} + Be^{-\gamma x}; \quad (13)$$

$$I = \frac{1}{Z} (Ae^{\gamma x} - Be^{-\gamma x}), \quad (14)$$

где A и B — постоянные интегрирования;

$$Z = |Z| e^{j\vartheta} = \sqrt{\frac{R + j\omega L}{j\omega C}}; \quad (15)$$

$$|Z| = \sqrt[4]{\frac{R^2 + \omega^2 L^2}{\omega^2 C^2}}; \quad (16)$$

$$\vartheta = \frac{1}{2} \operatorname{arctg} \frac{-R}{\omega L}. \quad (17)$$

Для определения коэффициента передачи схемы удобно взять $U_{аб} = 1$.
Постоянные интегрирования A_1 и B_1 в (13) и (14) для 1-й линии находим из граничных условий:

$$U_1 = 1 \quad (x_1 = l_1); \quad (18)$$

$$\frac{U_1}{I_1} = Z_{вх_2} = Z_2 \operatorname{th} \gamma_2 l_2 \quad (x_1 = 0). \quad (19)$$

Подставляя (18) и (19) в (13) и (14), получим:

$$A_1 = \frac{1}{e^{\gamma_1 l_1}} - \frac{Z_2 \operatorname{th} \gamma_2 l_2 - Z_1 e^{-\gamma_1 l_1}}{Z_2 \operatorname{th} \gamma_2 l_2 (e^{2\gamma_1 l_1} + 1) + Z_1 (e^{2\gamma_1 l_1} - 1)}; \quad (20)$$

$$B_1 = \frac{Z_2 \operatorname{th} \gamma_2 l_2 e^{\gamma_1 l_1} - Z_1}{2Z_2 \operatorname{th} \gamma_2 l_2 \operatorname{ch} \gamma_1 l_1 + 2Z_1 \operatorname{sh} \gamma_1 l_1}. \quad (21)$$

Напряжение на элементарном участке 1-й линии равно

$$dU_1 = I_1 Z_{1 \text{ пор}} dx_1,$$

напряжение на зажимах бг —

$$\begin{aligned} U_{бг} &= \int_{x_1=0}^{x_1=l_1} dU_1 = \int_0^{l_1} \frac{Z_{1 \text{ пор}}}{Z_1} (A_1 e^{\gamma_1 x_1} - B_1 e^{-\gamma_1 x_1}) dx_1 = \\ &= \frac{Z_{1 \text{ пор}}}{Z_1 \gamma_1} [A_1 (e^{\gamma_1 l_1} - 1) + B_1 (e^{-\gamma_1 l_1} - 1)], \end{aligned} \quad (22)$$

где

$$Z_{1 \text{ пор}} = j \frac{\omega L_1}{2}. \quad (23)$$

Постоянные интегрирования A_2 и B_2 в (13) и (14) для 2-й линии находим из следующих граничных условий

$$U_2 = 0 \quad (x_2 = 0); \quad (24)$$

$$U_2 = U_1(0) = A_1 + B_1 \quad (x_2 = l_2), \quad (25)$$

где $U_1(0) = U_1$ при $x_1 = 0$.

Подставляя (24) и (25) в (13) и (14), получим:

$$A_2 = \frac{Z_2 (e^{2\gamma_1 l_1} + 2 \operatorname{ch} \gamma_1 l_1 - 1)}{2 \operatorname{ch} \gamma_2 l_2 [Z_2 \operatorname{th} \gamma_2 l_2 (1 + e^{2\gamma_1 l_1}) + Z_1 (e^{2\gamma_1 l_1} - 1)]}; \quad (26)$$

$$B_2 = -A_2. \quad (27)$$

По аналогии с (22)

$$U_{re} = \frac{Z_2 \text{пор}}{Z_2 \gamma_2} [A_2 (e^{\gamma_2 l_2} - 1) + B_2 (e^{-\gamma_2 l_2} - 1)], \quad (28)$$

где

$$Z_2 \text{пор} = \frac{r_2}{l_2} + j \frac{\omega L_2}{2}.$$

Подставляя (20) и (21) в (22), а (26) и (27) в (28) и решая уравнения (2), (22) и (28), получим окончательное выражение для комплексного коэффициента передачи схемы

$$K = \frac{Z_1 \text{пор} Z_2 \gamma_2 [2Z_2 \text{th} \gamma_2 l_2 (1 - \text{ch} \gamma_1 l_1) + Z_1 (e^{2\gamma_1 l_1} - 1)] +}{Z_1 Z_2 \gamma_1 \gamma_2 [Z_2 \text{th} \gamma_2 l_2 (e^{2\gamma_1 l_1} + 1) +} \rightarrow \\ \rightarrow \frac{+ Z_1 Z_2 \text{пор} \gamma_1 [Z_2 \text{th} \gamma_2 l_2 (e^{2\gamma_1 l_1} + 2 \text{ch} \gamma_1 l_1 - 1)]}{+ Z_1 (e^{2\gamma_1 l_1} - 1)]}. \quad (29)$$

Уравнение (29) после подстановки в него численных значений характеристик линий может быть приведено к виду:

$$K = K_\alpha + jK_\varphi = |K| e^{j\varphi}; \quad (30)$$

где K_α — активная составляющая коэффициента передачи;
 φ — угол сдвига фаз между входным и выходным напряжениями делителя; $\varphi = \text{arctg} \frac{K_\varphi}{K_\alpha}$;

$|K|$ — модуль коэффициента передачи; $|K| = \sqrt{K_\alpha^2 + K_\varphi^2}$.

По изложенной методике производился расчет коэффициента передачи схемы (см. рисунок) при исходных данных: $l_1 = 20$ мм; $d = 0,1$ мм; $D_1 = 3,6$ мм; $l_2 = 10$ мм; $b = 0,5$ мм; $t_2 \ll b$, $t = 2$ мм; $D_2 = 3,5$ мм. Материал подложки — стекло; $\epsilon = 7$; $r_1 = 1$ ком; $r_2 = 2$ ком.

Результаты расчета параметров эквивалентной схемы следующие: $L_1 = 18,1 \cdot 10^{-7}$ гн/м; $L_2 = 13,8 \cdot 10^{-7}$ гн/м; $C_1 = 45 \cdot 10^{-12}$ ф/м; $C_2 = 22 \cdot 10^{-12}$ ф/м; $R_2 = 3 \cdot 10^5$ ом/м.

Результаты расчета коэффициента передачи: при $f = 1$ Мгц $\varphi = -0,156'$; при $f = 10$ Мгц $\varphi = -3,374'$. На частоте 1 Мгц модуль K ничтожно мало отличается от K на постоянном токе ($K = \frac{2}{3} = 0,666$ (6)) на частоте 10 Мгц $|K| = 0,6665$.

Расчет производился с помощью пятизначных математических таблиц [5—7] на цифровой вычислительной машине.

Таким образом, можно предположить, что тонкопленочные делители будут обладать хорошими высокочастотными свойствами.

ЛИТЕРАТУРА

1. С. Т. Васьков. Об одном способе измерения переменных напряжений по действующему значению. — Изв. Сиб. отд. АН СССР, серия техн. наук, 1963, вып. 1, № 2.
2. П. Л. Калантаров, Л. Р. Нейман. Теоретические основы электротехники. М.—Л., Госэнергоиздат, 1951.
3. П. Л. Калантаров, Л. А. Цейтлин. Расчет индуктивностей. М.—Л., Госэнергоиздат, 1955.

4. H. R. Kaiser, P. S. Castro. Capacitance Between Thin-Film Conductors Deposited on a High Dielectric-constant Substrate.—Proc. of the IRE, 1962, v. 50, № 10, p. 2142.
5. Б. И. Сегал, К. А. Семендяев. Пятизначные математические таблицы. М., Физматгиз, 1959.
6. Таблицы круговых и гиперболических синусов и косинусов в радианной мере угла, вып. 1. М., ВЦ АН СССР, 1958.
7. Таблицы круговых и гиперболических тангенсов и котангенсов в радианной мере угла, вып. 6. М., ВЦ АН СССР, 1959.

*Поступила в редакцию
10 января 1966 г.*